

Calcul numeric

Elena PELICAN

Universitatea Ovidius Constanța
Facultatea de Matematică și Informatică

email: epelican@univ-ovidius.ro

- Curs (2h/săpt)

Conf.Univ.Dr. Elena PELICAN

email: epelican@univ-ovidius.ro

Canalul aferent disciplinei de pe MS Teams

- Laborator (2h/săpt)

Specialist IT George PRODAN

email: george.prodan@365.univ-ovidius.ro

Canalul aferent disciplinei de pe MS Teams

Astăzi:

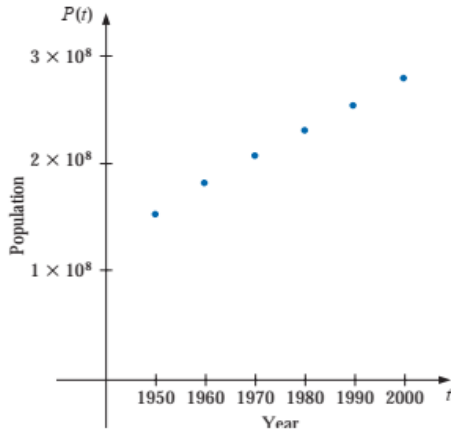
- **Polinoame de aproximare și interpolare**
 - Polinoame de aproximare Bernstein
 - Polinoame de interpolare Lagrange
 - Polinoame spline cubice

Exemplu

Recensământul populație în SUA se realizează o dată la 10 ani. Au fost înregistrate valorile din tabelul de mai jos.

Problemă: Folosind aceste date, se pot face predicții cât mai bune despre populația din 1975? Sau cea din 2030?

Year	1950	1960	1970	1980	1990	2000
Population (in thousands)	151,326	179,323	203,302	226,542	249,633	281,422



Se vor analiza în cadrul acestui capitol următoarele două probleme importante:

Problema 1. Dată fiind o funcție $f : [a, b] \rightarrow \mathbb{R}$ cu anumite proprietăți, să se determine un polinom $P \in \mathbb{R}[X]$ astfel încât

$$\|f - P\| \leq \varepsilon, \quad (1)$$

unde $\|\cdot\|$ este o normă pe spațiul vectorial al funcțiilor $f : [a, b] \rightarrow \mathbb{R}$, iar ε e o precizie dată.

Problema 2. Dată fiind o funcție $f : [a, b] \rightarrow \mathbb{R}$, diviziunea $\Delta : (a = x_1 < x_2 < \dots < x_n = b)$, să se determine o funcție $\varphi : [a, b] \rightarrow \mathbb{R}$ polinomială sau polinomială pe bucăți astfel încât

$$f(x_i) = \varphi(x_i), \quad i = 1, \dots, n \quad (2)$$

și

$$\|f - \varphi\| \leq \varepsilon. \quad (3)$$

Problema 1 se referă la **aproximarea unei funcții** prin funcții polinomiale, iar cea de-a doua la **interpolarea și aproximarea unor funcții** prin polinoame sau funcții ce sunt polinomiale pe intervale. Se folosesc funcții polinomiale sau polinomiale pe bucăți pentru că valoarea funcției într-un punct se poate calcula foarte simplu (vezi Capitolul 2, Schema lui Horner). În cazul Problemei 2, funcția f este de cele mai multe ori cunoscută doar în punctele diviziunii Δ .

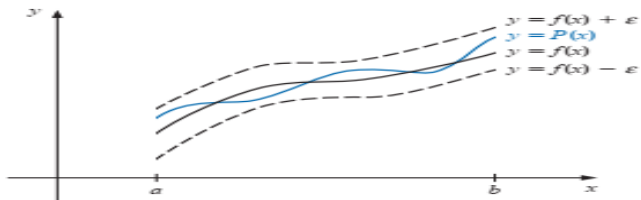


Figura: Polinom de aproximare

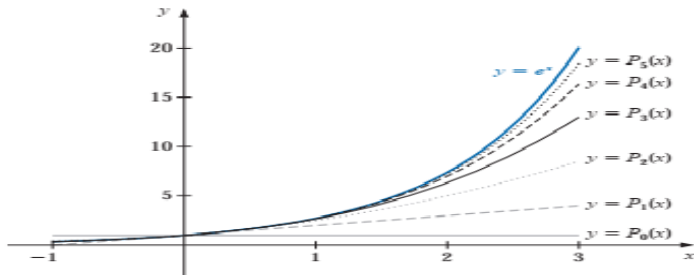


Figura: Polinoamele Taylor nu au proprietatea de aproximare

Polinoame de aproximare Bernstein

Theorem 1

Fie $f : [0, 1] \rightarrow \mathbb{R}$, continuă și $(B_n)_{n \geq 1}$ un șir de funcții polinomiale definite prin

$$B_n(x) = \sum_{k=0}^n f\left(\frac{k}{n}\right) C_n^k x^k (1-x)^{n-k}, \quad \forall x \in [0, 1]. \quad (4)$$

Atunci șirul $(B_n)_{n \geq 1}$ converge uniform la f pe $[0, 1]$.

Polinomul $B_n(x)$ se numește **polinom Bernstein** de ordin n asociat funcției f pe intervalul $[0, 1]$.

Exemplu

1. Construiți polinomul Bernstein de ordin 3 și 4 pentru funcția $f(x) = x$ - cu ajutorul tabletei grafice.

Calculul combinărilor (în program) nu se realizează folosind factorialul! Este inefficient pt nre mai mari ca 10, de ex.

2. Cum interpretăm rezultatul din teorema anterioară?

3. La laborator veți realiza un movie (folosind, de exemplu, *animation* din librăria *ffmeg*) care pentru o funcție dată pe un interval arbitrar va reda pe câte un frame un polinom Bernstein de grad 1, 2, 3 etc pentru a vizualiza proprietatea de aproximare. 4. Pt 3., cum se extindem rezultatul de la $[0, 1]$ la $[a, b]$? - cu ajutorul tabletei grafice (generalizare acasă la cazul 2D - ca în cazul editoarelor grafice din MS Word, MS Powerpoint etc).

Extinderea aproximării date de Teorema 1 la un interval arbitrar $[a, b]$ este prezentată în rezultatul următor.

Theorem 2

Fie $f : [a, b] \rightarrow \mathbb{R}$ continuă. Atunci există $(P_n)_{n \geq 1}$ un șir de polinoame cu coeficienți reali astfel încât $\|f - P_n\|_\infty \rightarrow 0, n \rightarrow \infty$.

Demonstrație. Fie $(B_n)_{n \geq 1}$ polinoamele Bernstein din Teorema 1 asociate funcției $F : [0, 1] \rightarrow \mathbb{R}, F(t) = f(a + t(b - a))$ și

$$P_n(x) = B_n\left(\frac{x-a}{b-a}\right), \quad x \in [a, b].$$

Folosind Teorema 1 obținem succesiv

$$\|f - B_n\|_\infty = \sup_{x \in [a, b]} |f(x) - P_n(x)| = \sup_{t \in [0, 1]} |F(t) - B_n(t)| \rightarrow 0, \quad n \rightarrow \infty$$

ceea ce încheie demonstrația teoremei.

Exemplu

Polinomul de tip Bernstein asociat lui $f : [5, 7] \rightarrow \mathbb{R}$, $f(x) = x^2$ este

$$\begin{aligned} P_n : [5, 7] \rightarrow \mathbb{R} \text{ cu } P_n(x) &= B_n \left(\frac{x-5}{2} \right) = \\ &= \sum_{k=0}^n F \left(\frac{k}{n} \right) C_n^k \left(\frac{x-5}{2} \right)^k \left(1 - \frac{x-5}{2} \right)^{n-k} = \\ &= \sum_{k=0}^n \left(5 + 2\frac{k}{n} \right)^2 C_n^k \left(\frac{x-5}{2} \right)^k \left(1 - \frac{x-5}{2} \right)^{n-k}, \end{aligned}$$

unde

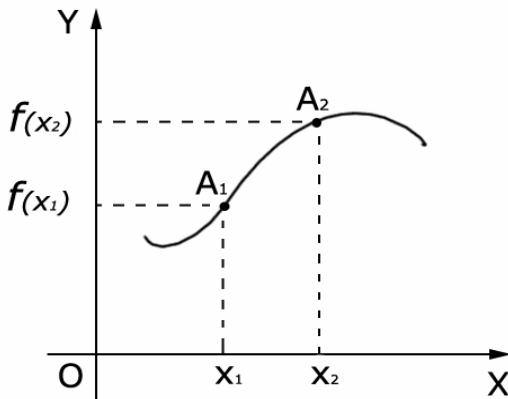
$F : [0, 1] \rightarrow \mathbb{R}$, $F(x) = f(5 + 2x) = (5 + 2x)^2$, iar

$B_n : [0, 1] \rightarrow \mathbb{R}$, $B_n(x) = \sum_{k=0}^n F \left(\frac{k}{n} \right) C_n^k x^k (1-x)^{n-k}$.

Teorema 2 poate fi extinsă în modul următor: dacă $f : [a, b] \rightarrow \mathbb{R}, f \in C^k([a, b])$, atunci $\exists (P_n)_{n \geq 1}$ un șir de polinoame astfel încât $\|f^{(i)} - P_n^{(i)}\|_\infty \rightarrow 0$, pentru $\forall i = 0, \dots, k$.

1. Convergența șirului $(B_n)_{n \geq 1}$ este foarte lentă, ceea ce reprezintă un dezavantaj pentru aproximarea cu polinoame Bernstein. În plus, nu avem posibilitatea evaluării a priori a diferenței $|f - B_n|$. Dar, avantajul metodei constă în faptul că $\forall x \in [a, b]$, $B_n(x)$ este o combinație convexă a valorilor $f\left(\frac{k}{n}\right)$, $k = 0, \dots, n$, proprietate ce păstrează "alura" (shape) funcției f (adică intervalele de convexitate și concavitate).
2. Cum $B_n\left(\frac{k}{n}\right) \neq f\left(\frac{k}{n}\right)$, rezultă că polinomul Bernstein nu are proprietatea de interpolare (2), ci doar pe cea de aproximare dată de Teorema 1.

În această secțiune ne vom referi la Problema 2. Astfel, fiind date valorile lui f în n puncte distincte x_i , $i = 1, \dots, n$, se pune problema aproximării printr-un polinom al cărui grafic să "treacă" prin punctele $A_i(x_i, f(x_i))$, $i = 1, \dots, n$. Următorul rezultat ne asigură că există un astfel de polinom.



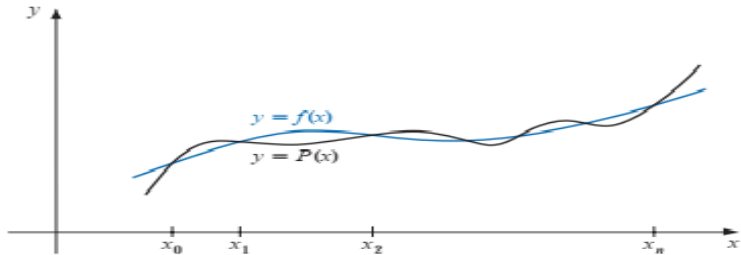
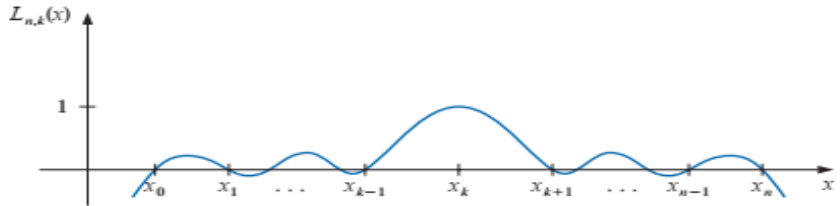


Figura: Polinom de interpolare



Theorem 3

Fie $f : A \subset \mathbb{R} \rightarrow \mathbb{R}$ și $x_1, \dots, x_n \in A$ puncte distincte. Atunci există și este unic determinat polinomul $P \in \mathbb{R}[X]$ de grad cel mult $n - 1$ astfel încât

$$f(x_i) = P(x_i), \quad \forall \quad i = 1, \dots, n. \quad (5)$$

Polinomul P poate fi reprezentat sub forma

$$P(x) = \sum_{j=1}^n f(x_j) \prod_{i=1}^n \frac{x - x_i}{x_j - x_i}, \quad x \in \mathbb{R}. \quad (6)$$

Definition 4

Polinomul

$$L_n(f; x) = \sum_{j=1}^n f(x_j) L_{n,j}(x). \quad (7)$$

se numește **polinomul de interpolare al lui Lagrange** asociat funcției f și punctelor x_i .

Fie $\omega : [a, b] \rightarrow \mathbb{R}$ polinomul unitar de grad n definit de dat de

$$\omega(x) = (x - x_1) \dots (x - x_n). \quad (8)$$

În punctele x_i , $i = 1, \dots, n$, $L_n(f; x)$ are proprietatea de interpolare (2); în celelalte puncte $x \in [a, b]$ are loc următorul rezultat (ce asigură în anumite condiții și proprietatea de aproximare).

Theorem 5

Dacă $f \in C^n([a, b])$, atunci $\forall x \in [a, b]$, $x \neq x_i$, pentru $\forall i = 1, \dots, n$, există $\xi_x \in [a, b]$ astfel încât

$$f(x) - L_n(f; x) = \frac{f^{(n)}(\xi_x)}{n!} \omega(x). \quad (9)$$

Theorem 6

Are loc relația

$$\|f - L_n(f; \cdot)\|_\infty \leq \frac{\|f^{(n)}\|_\infty}{4n} h^n. \quad (10)$$

Dacă $f \in C^\infty([a, b])$, $\|f^{(n)}\|_\infty \leq M$, $\forall n \geq 1$ și $h < 1$ atunci din (10) rezultă că

$$\|f - L_n(f; \cdot)\|_\infty \rightarrow 0, \quad n \rightarrow \infty$$

adică șirul polinoamelor Lagrange converge uniform la f , ceea ce înseamnă că aceste polinoame au și proprietatea de aproximare.

Exemplu 1

Determinați polinomul Lagrange care trece prin punctele $(2,4)$ și $(5,1)$
- cu ajutorul tabletei grafice.

Intuitiv, care este cel mai cunoscut polinom al cărui grafic trece prin două puncte date?

Exemplu 2

1. Determinați polinomul Lagrange care trece prin punctele (2,4), (3.9) și (5,25) - cu ajutorul tabletei grafice.
2. Pentru nodurile 2, 5, 8 și funcția $f(x) = 1/x$, construiți polinomul Lagrange asociat lui f . Folosind acest polinom, aproximați valoarea funcției pt $x = 10$. Comentați rezultatul obținut.

Polinomul de interpolare este unic, dar poate fi definit în mai multe forme, nu doar în forma Lagrange (diferențe divizate Newton, Neville, Hermite etc) - detalii în cursul în format electronic.

Un mare dezavantaj al aproximării cu polinoame Bernstein sau Lagrange este faptul că gradul polinomului crește odată cu numărul de puncte din $[a, b]$. Acest lucru face ca valoarea polinomului într-un punct să se calculeze cu mult efort și erori de calcul mari. Acest inconvenient poate fi eliminat prin utilizarea funcțiilor polinomiale pe bucăți.

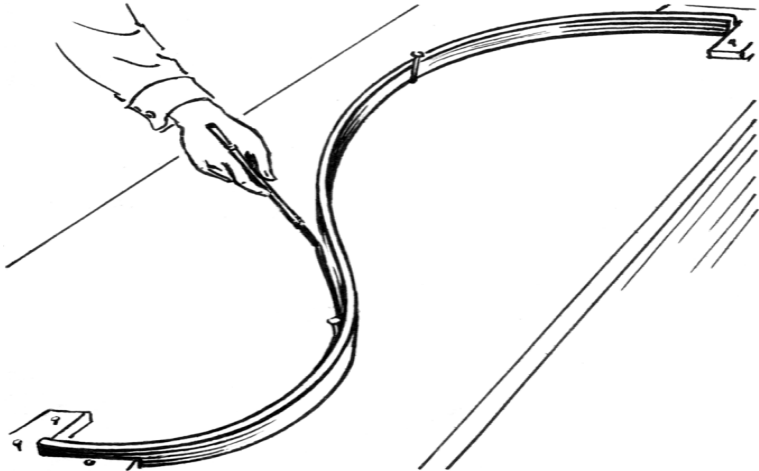


Figura: Obiectul spline (sursa Wikipedia)

Definition 7

Se numește **funcție spline cubică** o funcție g de clasă $C^2([a, b])$, polinomială de grad 3 pe bucăți, cu următoarele proprietăți

$$g|_{[x_{i-1}, x_i]}(x) = g_i(x) = \sum_{l=0}^3 a_l^i (x_i - x)^l, \quad i = 1, \dots, n, \quad (11)$$

$$g(x_i) = f(x_i); \quad (12)$$

$$g'(x_i) = f'(x_i); \quad (13)$$

$$g''(x_i) = f''(x_i); \quad (14)$$

$$g''(a) = g''(b) = 0, \quad (15)$$

unde $a = x_0 < x_1 < \dots < x_n = b$ este o diviziune a intervalului $[a, b]$.

O funcție g ce verifică relațiile (11) – (15) se numește **funcție spline cubică liberă**, iar dacă în loc de relația (15) se impun condițiile

$$g'(a) = f'(a), \quad g'(b) = f'(b), \quad (16)$$

g se numește **funcție spline cubică fixată**.

Următorul rezultat asigură, în condițiile date existența unei funcții spline cubice (libere).

Theorem 8

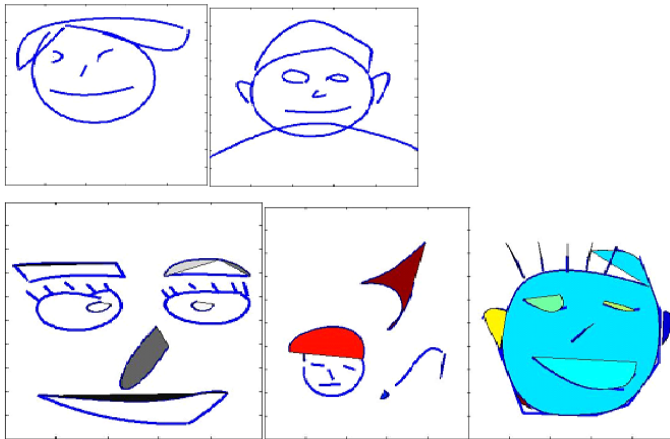
Există și este unică o funcție spline cubică liberă.

Un rezultat analog se demonstrează pentru existența unei funcții spline cubice fixate. Pentru detalii și extinderi ale noțiunii de funcție spline se poate consulta Burden - Faires.

Ca temă de laborator, veția avea să implementați acești algoritmi (pseudocodul va fi dat în temă) pentru a modela conturul unei rățuște în zbor și al unui cățeluș care stă culcat.

În grafica pe calculator se folosește versiuni optimizate pentru aceste funcții: B-spline, curbe Bezier, curbe Casteljaou.

Curbe create cu funcții de tip spline (spline cubice sau B-spline sau curbe Bezier)



La finalul acestui capitol veți realiza un GUI care va permite utilizatorului să:

- aleagă dintr-un button group sau popup menu tipul de problemă pe care o dorește să o rezolve: de aproximare sau de interpolare
- pentru polinoame Bernstein, se vor alege a , b , n , $f(x)$; se va construi polinomul respectiv și se va calcula în punctul x dat de user și valoarea $f(x)$ și $B_n(x)$ și apoi eroarea absolută și cea relativă; se va rula filmul pentru $m = 1, 2, \dots, n$.
- pentru polinoame Lagrange, se va interoga utilizatorul cum vor fi date setul de date: introduse de la tastatură în GUI, generate automat (de tip random), citite din fișier (.txt, .xlsx, .csv) sau alese cu mouse-ul pe ecran (folosind *plt.ginput*); apoi se calculează polinomul Lagrange de grad maximal posibil, se reprezintă etc
- (opțional) se pot crea sub-GUIs pentru polinoame sub forma Newton, Neville, Hermite, spline, B-spline, Bezier- sunt multe filme pe youtube pt formule și construcție, Casteljaou etc.

Bibliografie

Este valabilă bibliografia din cursul (complet) în format electronic.
De bază este *NUMERICAL ANALYSIS, 9th Ed, R. Burden, J. Faires, Brooks Cole, 2011.*
EP - cărțile din 2005 și 2006.